

[研究快报]

i-Motif 在分子拥挤条件下的性质

周俊^{1,2}, 贾国卿^{1,2}, 冯兆池¹, 李灿¹(1. 中国科学院大连化学物理研究所, 催化基础国家重点实验室, 大连 116023;
2. 中国科学院研究生院, 北京 100049)关键词 *i*-Motif; 分子拥挤; 聚乙二醇

中图分类号 O643

文献标识码 A

文章编号 0251-0790(2010)02-0309-03

DNA 分子除了通常的反平行双螺旋结构之外, 某些特定的 DNA 序列还能够形成三链、四链或 Holliday 十字等核酸的空间特异结构。富含 C 的单链 DNA 分子可以在酸性条件下通过 C 碱基的半质子化 C⁺ · C 碱基对形成稳定的平行双螺旋, 两个平行双螺旋上的 C⁺ · C 碱基对可以以交替排列和互相嵌入 (Intercalate) 的形式形成四螺旋结构, 这种四螺旋结构即为 *i*-Motif (图 1)^[1]。目前在体外研究中已经证实了 *i*-Motif 结构可能具有一定的生物功能^[2], 与其它的 DNA 序列一样, 成为抗癌药物作用的靶点^[3,4]。关于 *i*-Motif 的绝大多数研究都是在稀的缓冲液中进行的。然而所有细胞中都存在大量的蛋白质、核酸及多糖等生物大分子, 它们占据了细胞容积的 20%~30%, 总浓度高达 80~200 g/L, 这一现象被称作分子拥挤效应 (Molecular crowding effect)^[5]。有研究结果表明, 在体系中加入拥挤试剂 (Crowding agent, 如聚乙二醇, PEG) 后, 可诱导另一种四螺旋结构 G-Quadruplex 的结构变化^[6~8], 提高其热稳定性^[9]。目前关于 *i*-Motif 在分子拥挤条件下的性质报道还比较少。

本文用人端粒富含 C 的序列 [C₃TA₂]₃C₃ 作为模型, 利用惰性分子 PEG 200 作为模拟体内分子的拥挤试剂, 通过圆二色光谱和紫外吸收光谱研究了 *i*-Motif 在分子拥挤条件下的性质。结果表明, PEG 的存在对 *i*-Motif 的结构没有明显影响, 但是可以提高 *i*-Motif 的热稳定性。

1 实验部分

1.1 试剂与仪器 [C₃TA₂]₃C₃ (上海生工公司, 电泳纯); PEG (分析纯, Alfa Aesar 公司); 二甲基胂酸钠 (分析纯, Amresco 公司); 实验用水为 Milli-Q A10 制备的超纯水。

OLIS 双光束 DSM 1000 圆二色光谱仪 (美国 OLIS 公司); 岛津 UV2450 紫外-可见吸收光谱仪 (日本 Shimadzu 公司); 雷磁 PHS-3B 型精密 pH 计 (上海精密科学仪器有限公司)。

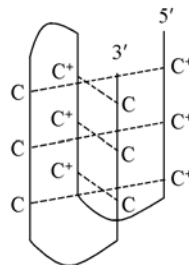
1.2 实验过程 圆二色 (CD) 光谱采集条件: 波长 320~220 nm, 样品池厚度为 1 cm, 采集 5 次, 取平均值, 室温采集谱图。CD 热变性实验: 从 15 °C 起每间隔 5 °C 升温, 在各温度下稳定约 10 min 后, 采集 CD 谱图, 至 CD 光谱不再发生变化为止。CD 热变性实验数据是在 286 nm 下以最大正峰强度与温度的关系进行处理的。UV 热变性实验分别在波长 265 和 295 nm 下进行, 从 15 °C 起, 以 0.5 °C/min 的速度逐渐升温, 样品池厚度为 1 cm。CD 和 UV 实验中温度的控制均通过 Peltier 温度控制器实现。核酸样品的浓度为 4 μmol/L, 所用缓冲液为 10 mmol/L 二甲基胂酸钠缓冲液, 用 HCl 调节至相应的 pH 值。

收稿日期: 2009-07-15。

基金项目: 国家自然科学基金 (批准号: 20673110 和 20621063) 资助。

联系人简介: 李灿, 男, 博士, 研究员, 博士生导师, 中国科学院院士, 主要从事物理化学、催化和应用光谱研究。

E-mail: canli@dicp.ac.cn

Fig. 1 Structure of *i*-Motif

2 结果与讨论

2.1 PEG 对 *i*-Motif 结构的影响 核酸序列 $[C_3TA_2]_3C_3$ 在不含 PEG 的不同 pH 值下的 CD 光谱如图 2(A) 所示。在 pH = 5.8 ~ 6.8 时, CD 谱图在 286 nm 处有一个正峰, 在 255 nm 处有一个负峰, 这是典型的 *i*-Motif 的 CD 谱图^[10,11]。说明在此条件下形成了 *i*-Motif 的结构。随着 pH 值的增加, 286 nm 处正峰的强度逐渐降低。当 pH = 7.0 时, 286 nm 处的特征谱峰消失, 且正峰最大位置在 270 nm 附近, 255 nm 处的负峰蓝移至 245 nm 附近, 这说明 *i*-Motif 的结构消失, 形成了无规则的结构。这与文献 [10 ~ 12] 报道的结果一致。当缓冲液中含有 400 g/L PEG 200 时, CD 谱图与不含 PEG 的谱图相比, 没有发生变化[图 2(B)]。在 pH = 5.8 ~ 6.8 时为 *i*-Motif 的结构, 当 pH > 7.0 时, 形成无规则的单链结构。说明 PEG 的存在对 *i*-Motif 的结构没有影响, *i*-Motif 的存在更依赖于 pH 值。

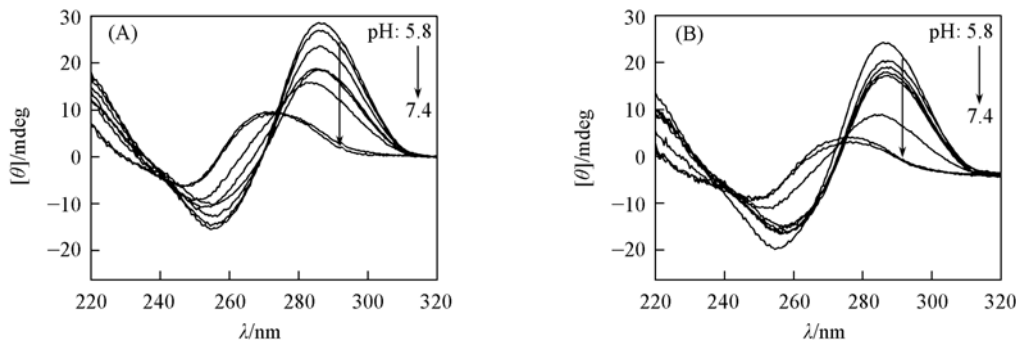


Fig. 2 CD spectra of $[C_3TA_2]_3C_3$ recorded at room temperature in sodium cacodylate buffer at different pH (5.8, 6.0, 6.2, 6.4, 6.6, 7.0, 7.4) in the absence of PEG (A) or presence of 400 g/L PEG (B)

2.2 PEG 对 *i*-Motif 稳定性的影响 *i*-Motif 在稀缓冲液和分子拥挤环境中不同 pH 值条件下的 CD 光谱和 UV 吸收光谱如图 3 和图 4 所示。

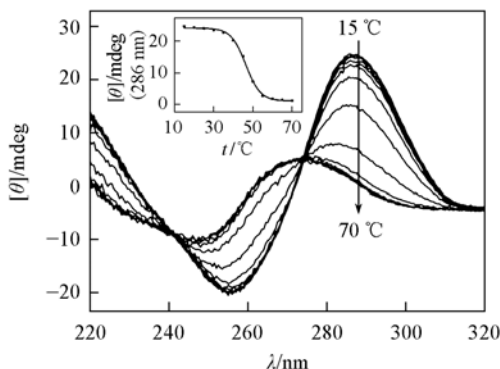


Fig. 3 CD spectra of $[C_3TA_2]_3C_3$ at different temperatures in sodium cacodylate buffer (pH = 5.8)

Inset: variation of CD signal at 286 nm as a function of the temperature.

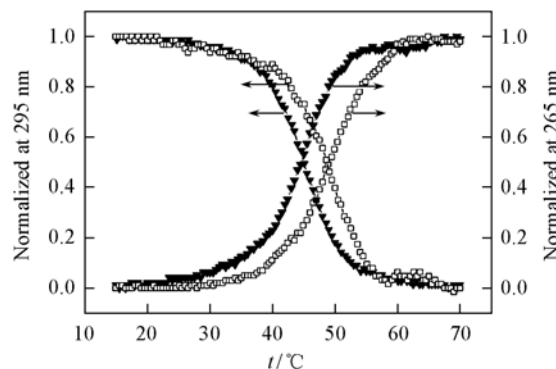


Fig. 4 Temperature-induced melting curves of $[C_3TA_2]_3C_3$ recorded by UV at 265 and 295 nm in the presence (□) or absence (▼) of PEG (400 g/L) in sodium cacodylate buffer (pH = 5.8)

图 3 的插图给出了 286 nm 处的 CD 值与温度的关系, 得到 *i*-Motif 在 pH = 5.8 和不含 PEG 的条件下的 T_m 值为 46.5 °C(表 1)。从表 1 中可以看出, 在 pH = 5.8 及 400 g/L PEG 条件下, T_m 值为 50 °C。说明 PEG 的存在可以提高 *i*-Motif 的稳定性。表 1 中列举了 CD 光谱获得的 *i*-Motif 在其它 pH 值条件下的 T_m 值。可以看出, 随着 pH 值的提高, 无论是在稀缓冲液中还是在分子拥挤环境中, *i*-Motif 的稳定性都是下降的。在相同 pH 及分子拥挤条件下 *i*-Motif 的稳定性要强于在稀缓冲液中的 *i*-Motif 的稳定性。UV 光谱分别在 265 和 295 nm 检测了 *i*-Motif 在上述缓冲液中的 T_m 值, 图 4 给出了 *i*-Motif 在 pH = 5.8 时的热变性图。可以看出, 无论在 265 nm 还是 295 nm 处, 都显示 PEG 可以提高 *i*-Motif 的热稳定性, 这与 CD 结果是一致的。UV 检测的 *i*-Motif 在其它 pH 值中的 T_m 值列于表 1, 结果表明, PEG 的存在可以提高 *i*-Motif 的热稳定性。

